

## (428) 光電子分光法による鋼板上スケールの形態分析

川崎製鉄㈱ 技術研究所 ○山下孝子、工博 清水真人

**1. 緒言** ; 光電子分光装置(ESCA)は表面の状態分析を行なえる装置として広く利用されているが、鐵酸化物の同定には単結晶を真空中でへき開又は標準試薬を $\text{Ar}^+$ イオンスパッタリングした試料が用いられている。しかし、実際に鋼板上にできた伝導性を持つスケールでは著者の知る限りではまだESCAによる正確な同定が行なわれておらず、又、単結晶等から得られた値もチャージアップの問題が残り分離同定が困難であった。そこで、実際に鋼板上にできたスケールでその形態の分離同定を試みた。

**2. 実験** ; 試料はリムド鋼を $900^\circ\text{C}$  6hr 大気中で焼鈍して形成したスケールを剥離又はへき開して得たもので、X線回折で同定後、真空中で $180^\circ\text{C}$  6hr ベークして測定を行なった。使用した装置はV.G. Scientific社製 ESCALAB-5 でFig. 1に形成したスケールと剥離位置および測定面を示すが、分析にあたっては非破壊で深さ方向分析の可能な角度分布測定<sup>1)</sup>を行なった。

**3. 結果および考察** ; まずTable. 1に標準試薬のスパッタによる深さ方向分析の結果を示すが、スパッタ前は違っていたものがスパッタを行なうと●印で示す様にピーク位置が $709.5\text{[eV]}$ 、 $\%_{\text{Fe}}$ 比が約1.1に落ちてしまふ。すなわち、スパッタリングは正確な分析を行なうためには、できる限り避けなければならない。

次にNo.1、No.2の試料の真空中でベークする前後の4つのピークについて、従来通り $\text{O}_{1s}$ のピーク位置で補正<sup>2)</sup>を行なうのは酸化物上の吸着 $\text{O}$ では必ずしも正確な方法とは言えない。そこで、文献値<sup>3), 4)</sup>でも $\text{O}_{1s}$ の $-0\text{M}$ ピークの位置は鐵の酸化状態によらずある範囲内に収まるところから、 $\text{O}_{1s}$ の $-0\text{M}$ ピークを基準にして $\text{Fe}_{2p}\frac{3}{2}$ ピークの補正を行なったところ、ベーク前では表層からの信号を多く受ける光電子脱出角 $\theta$ が $10^\circ$ の場合と、より深い層からの $\theta=90^\circ$ の場合で $0.5\text{eV}$ 程度の差があるが、No.1、No.2ともベーク後は両者が一致した。結果を

Table. 2 に示す。

同時にベーク後 $\theta=90^\circ$ の試料 $\%_{\text{Fe}}$ 強度比も示すが、No.1試料は1.79、No.2は1.14となり、すなわち、鋼板上のスケールから得られる鐵酸化物のピーク位置として、 $\text{FeO}=709.5\text{[eV]}$   $\text{Fe}_3\text{O}_4=710.25\text{[eV]}$ となった。なお、Table. 1に●印で示したもののがNo.2試料結果と一致しているが、この傾向はMcIntyre<sup>3)</sup>らの測定結果と良く一致している。

**参考文献** 1) 羽根孝子、角山浩三、第107回鉄鋼協会講演大会、84-S293

2) 羽根孝子、大橋善治、第105回鉄鋼協会講演大会、83-S294

3) N. S. McIntyre. et al., Anal. Chem., 49, 1521

4) R. L. Kurtz. et al., Surface Science, 192, 345

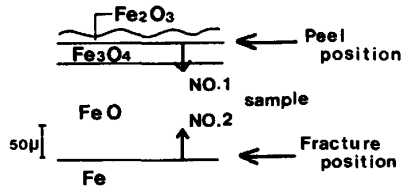


Fig.1 The scale of a oxidized steel and the peel or fracture position

Table.1 Peak position and intensity ratio of the standard iron oxide powder samples

SPW (A)	Peak position (eV)		Intensity ratio	
	O 1s	Fe 2p $\frac{3}{2}$	Fe metal	$\text{O}/\text{Fe}_{\text{ox}}$
$\text{Fe}_2\text{O}_3$	0 529.7	—	709.6	0 1.80
	531.7	—	710.3	
	10 530.4	—	710.4	0 1.35
	531.4	—		
	300 529.8	706.7	710.3	0.10 1.45
	600 530.0	706.7	709.5	0.47 1.05
$\text{Fe}_3\text{O}_4$	0 530.1	—	711.0	0 1.94
	531.5	—		
	10 530.1	—	710.1	0 1.59
	531.2	—		
	300 530.0	706.8	710.5	0.16 1.46
	600 530.0	706.8	709.5	0.71 1.04
$\text{FeO}$	0 529.6	—	710.3	0 1.78
	531.0	—		
	10 529.7	—	709.3	0 1.20
	531.2	—		
	300 530.0	706.6	709.5	1.01 1.05
	600 530.0	706.7	709.5	1.30 1.10

Table.2 Peak position of No.1, No.2 Samples baked in vacuum

NO.	θ	before BAKE OUT		after BAKE OUT	
		Peak position (eV)	Peak position (eV)	F.W.H.M. (eV)	O/Fe intensity ratio
1	90°	710.25	710.25	3.8	1.79
	10°	711.10	710.25	3.8	
2	90°	710.50	709.50	4.0	1.14
	10°	710.35	709.50	4.0	